平成23年7月22日 SCOPE研究開発助成成果報告会

#### 自律型水中ロボットと海底ステーションによる 水中構造物の 全自動・長期モニタリングシステム(その1)

東京大学 生産技術研究所 巻 俊宏

### 海洋構造物の水中観測

#### • 構造物の例

- 港湾(岸壁、防波堤・・)
- 沿岸(桟橋式空港、石油基地··)
- 沖合・海中(石油リグ、漁礁・・)

#### • 観測の目的

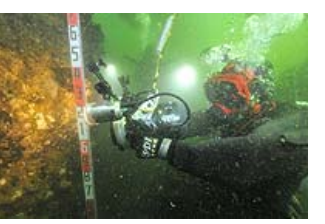
- 保守点検 (肉厚、外観・・)
- 環境調査 (堆砂、水質、生物・・)
- セキュリティ (外観、パトロール・・)

#### • 現在の観測手法

- 船舶
- ダイバー
- 遠隔操縦ロボット(ROV)



http://www.haneda-d.jp/d now/photo.php



http://www.shibuya-diving.co.jp/index.php

# 自律ロボットの活用

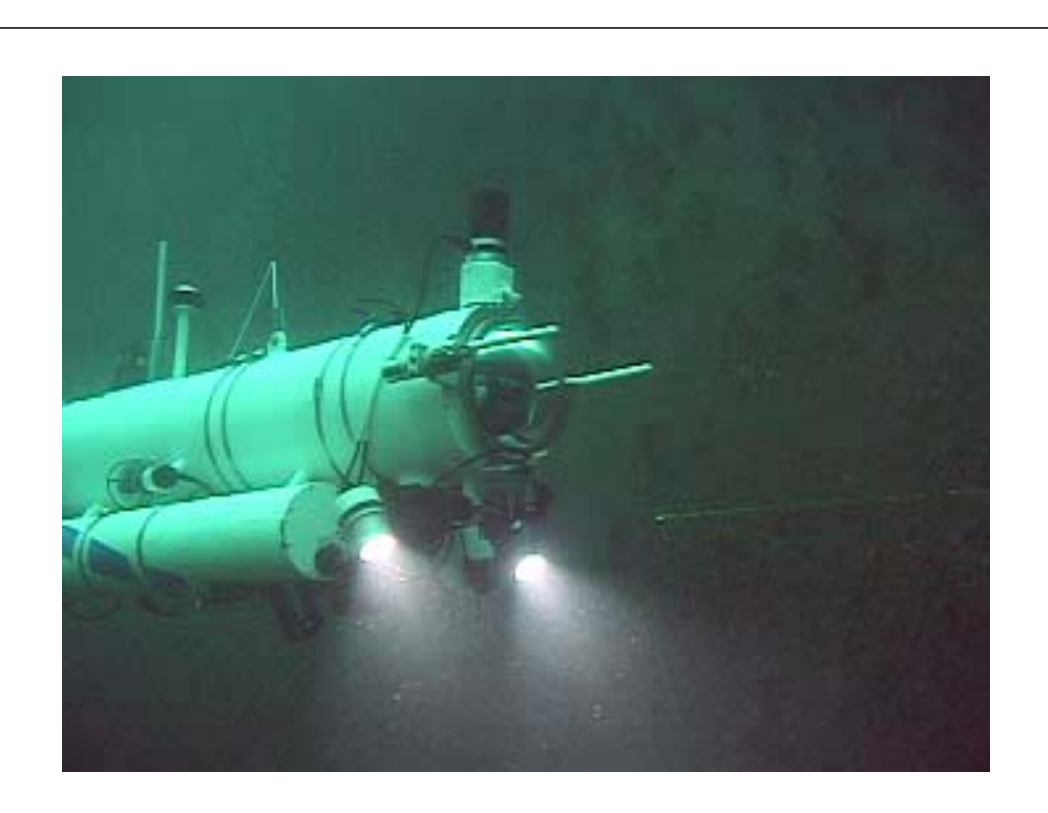
#### • 自律型海中ロボット(AUV)

- エネルギー源と制御装置を内蔵し、無索・全 自動で観測活動を行う
- 資源探査、学術調査、防衛等の分野で実用 化されている

#### • 構造物観測における利点

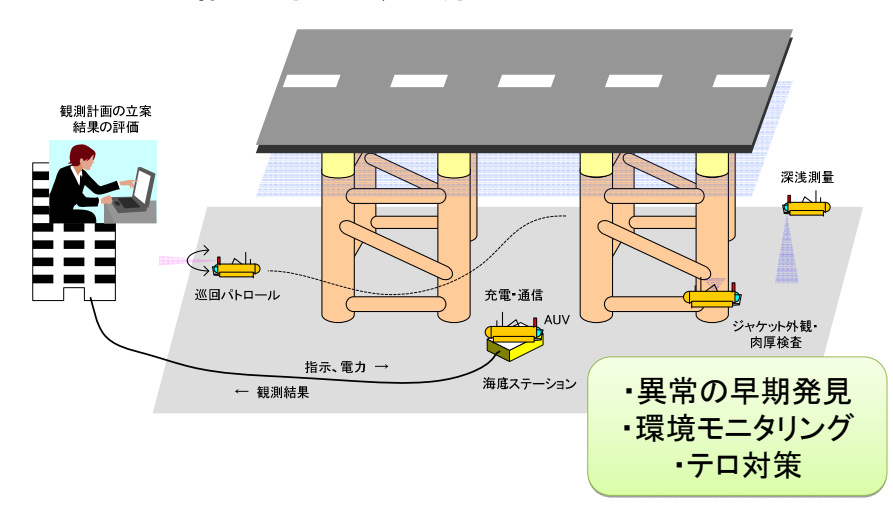
- ケーブルが無いため、構造物に絡まる心配 がない
- 観測の質を一定に保つことができる
- 人間が監督する必要がなく、低コスト





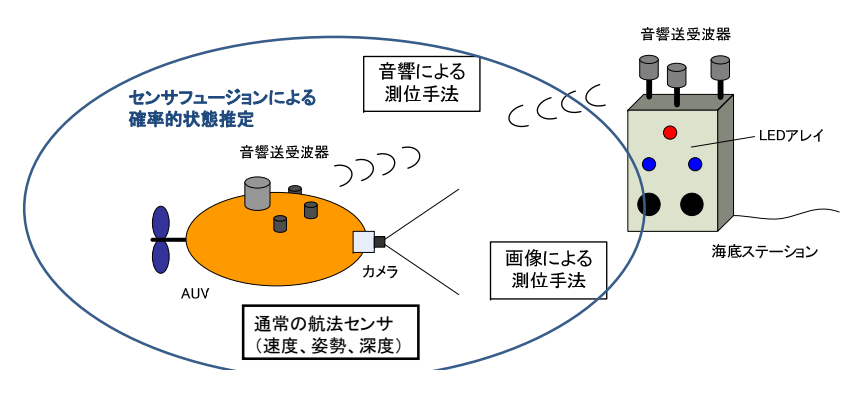


### 提案: AUVと海底ステーションによる 構造物の長期モニタリング



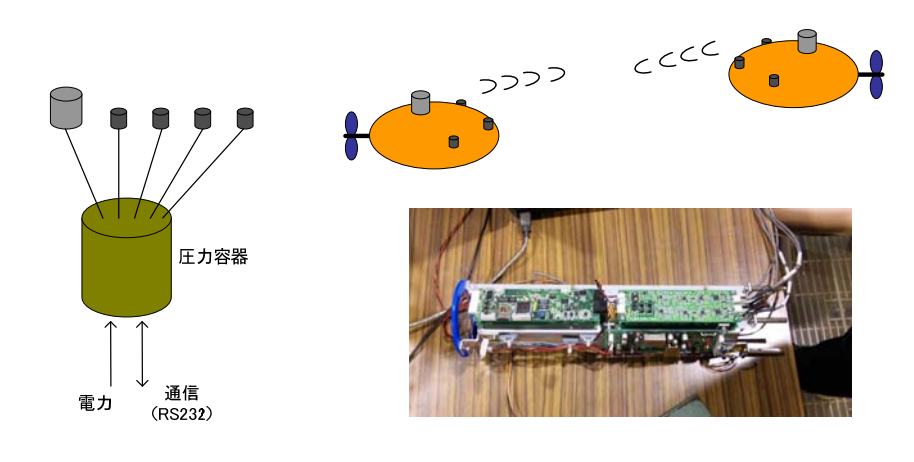
## 本年度の実施内容

- ステーションを基準とするAUVの測位手法の開発
  - 音響による測位装置(ALOC)の実海域試験
  - 画像による高精度相対測位手法の開発
  - 両者の統合による広域・高精度測位手法の開発



#### **ALOC**

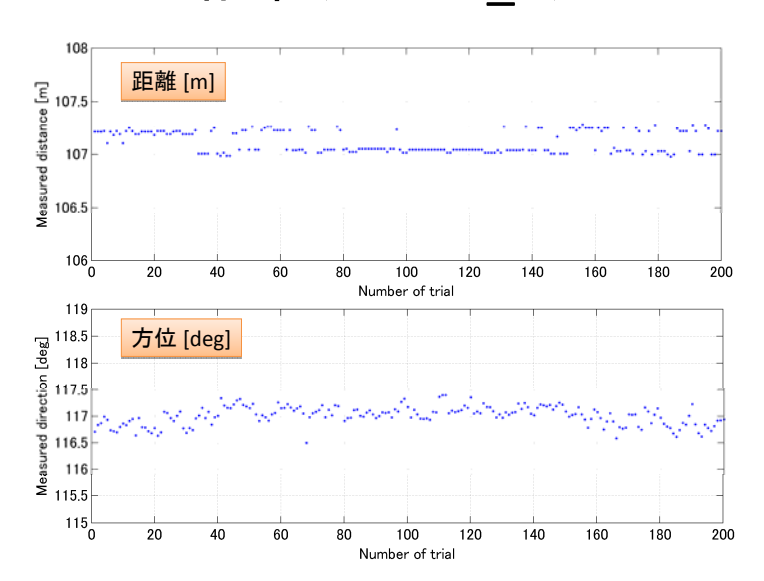
- Acoustic Localization and Communication System
- 音響による水中相対測位・通信システム



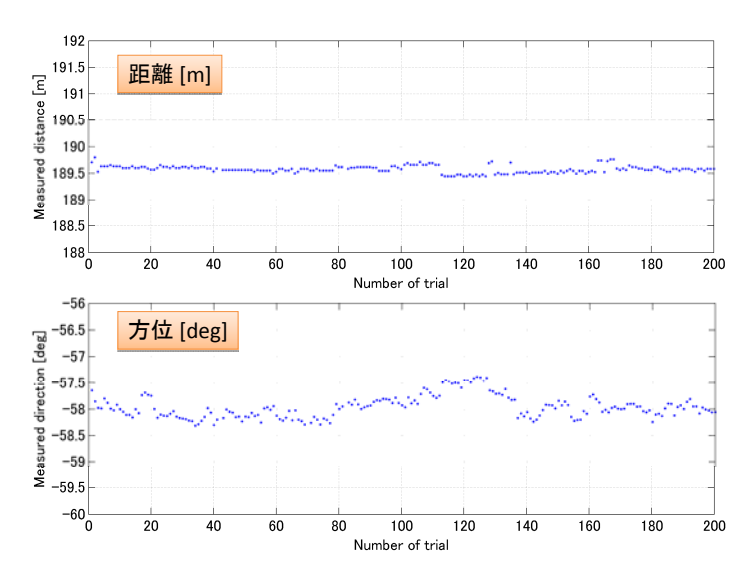
## ALOCの実海域試験



# 結果(ALOC2\_A)



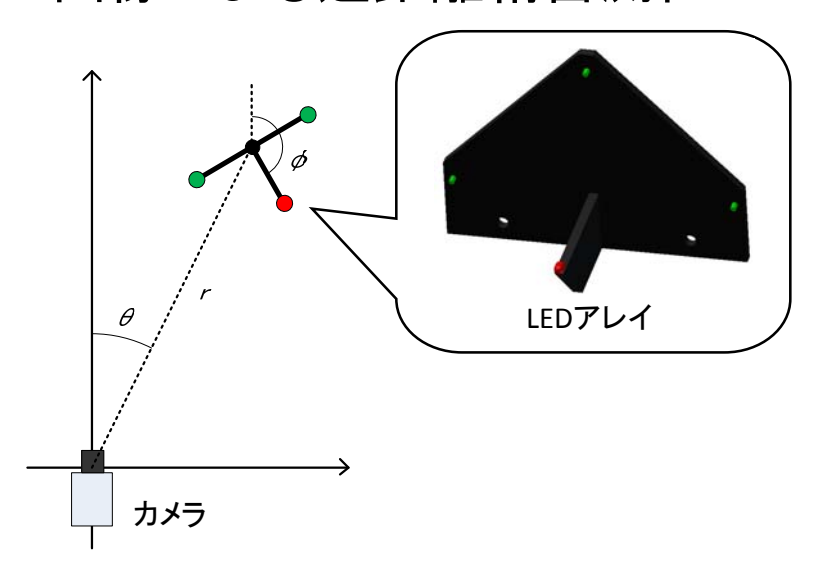
# 結果(ALOC2\_B)



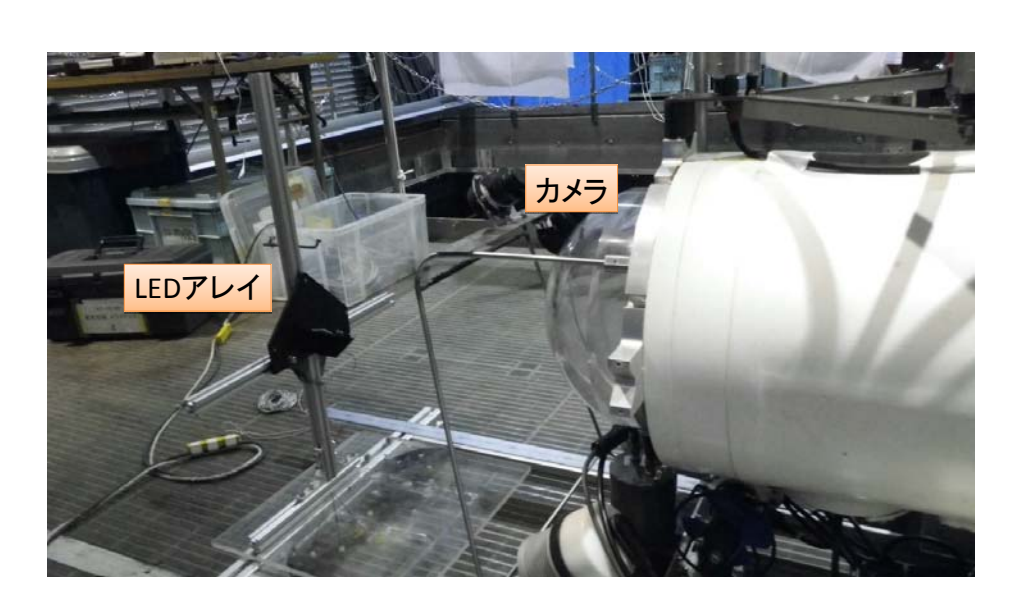
## 結果まとめ

ターゲット	ALOC_2A	ALOC_2B
相対距離 [m]	103	190
測位成功率	1.00	0.99
通信成功率	0.57	0.10
距離計測値の平均 [m]	107.12	189.58
距離計測値の標準偏差 [m]	0.10	0.07
方位計測値の平均 [m]	116.98	-57.92
方位計測値の標準偏差 [m]	0.38	0.51

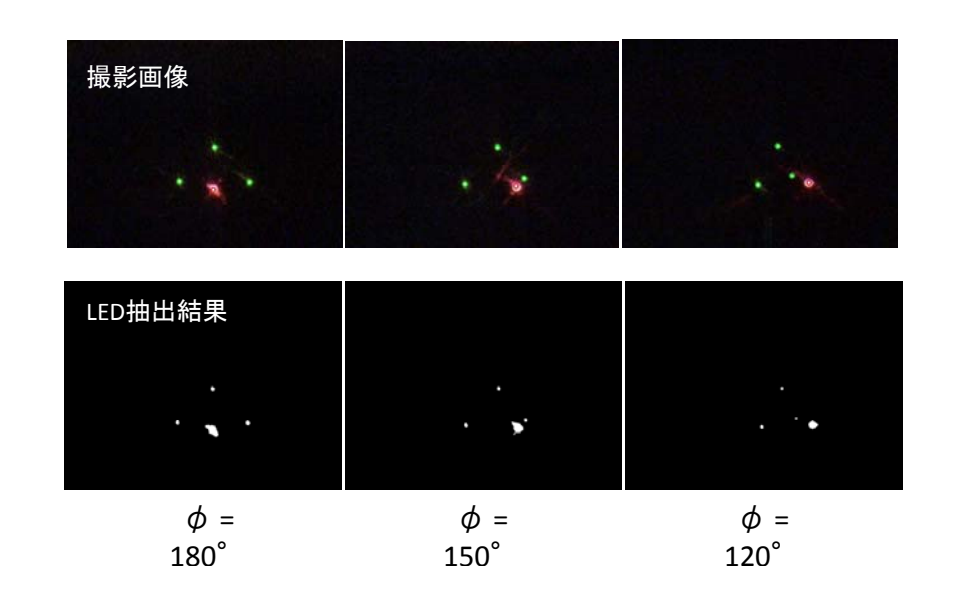
# 画像による近距離精密測位



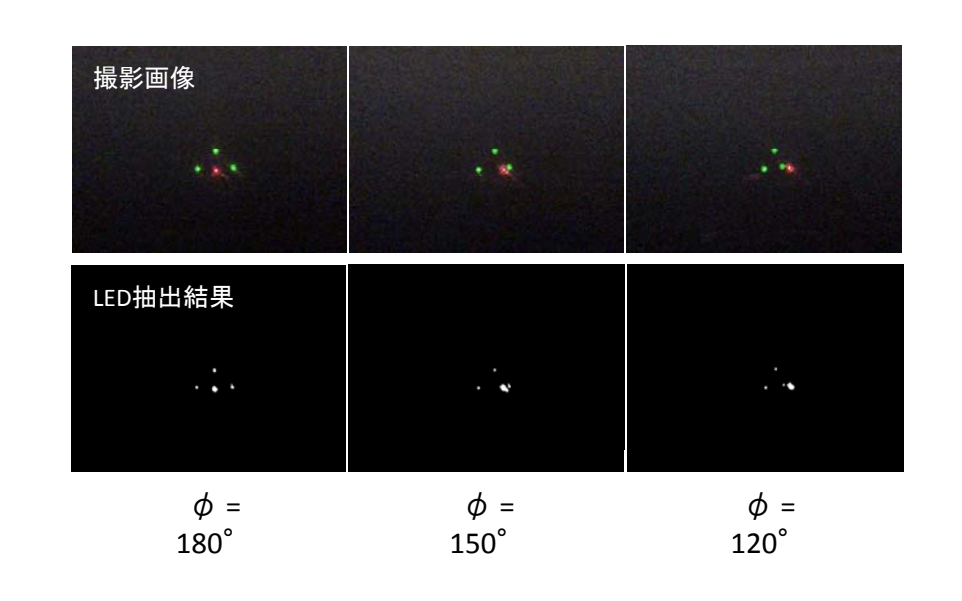
# 水槽試験



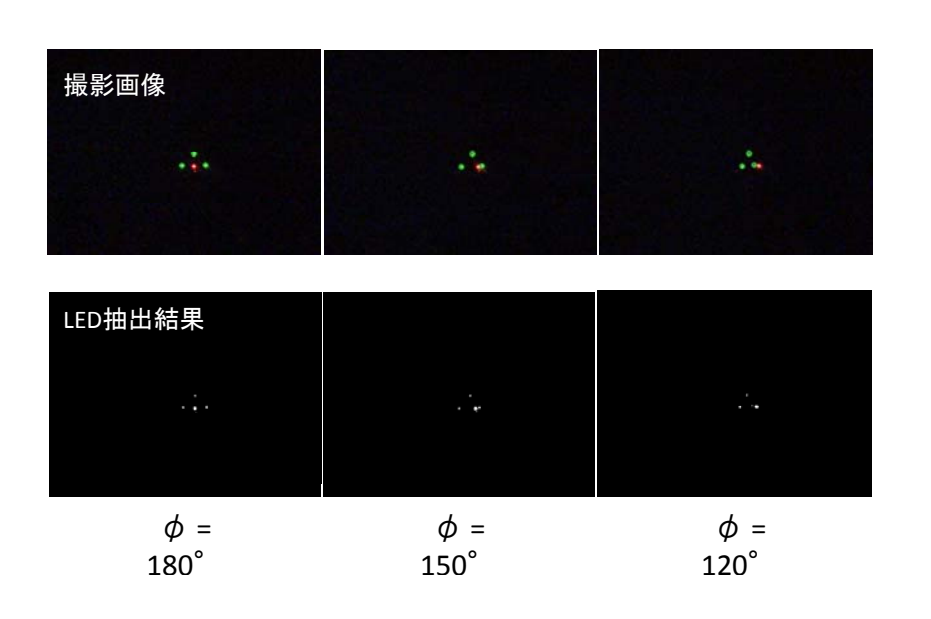
# 撮影結果(r = 0.5m)



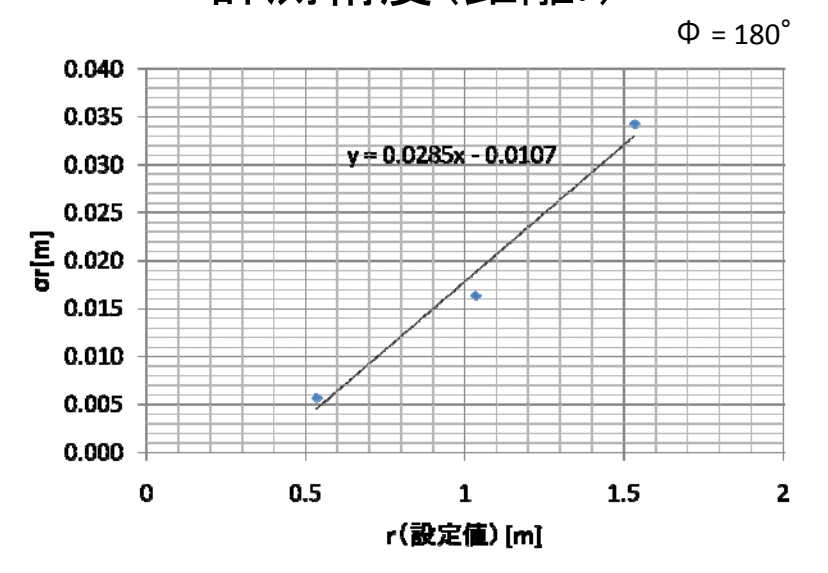
# 撮影結果(r = 1.0m)



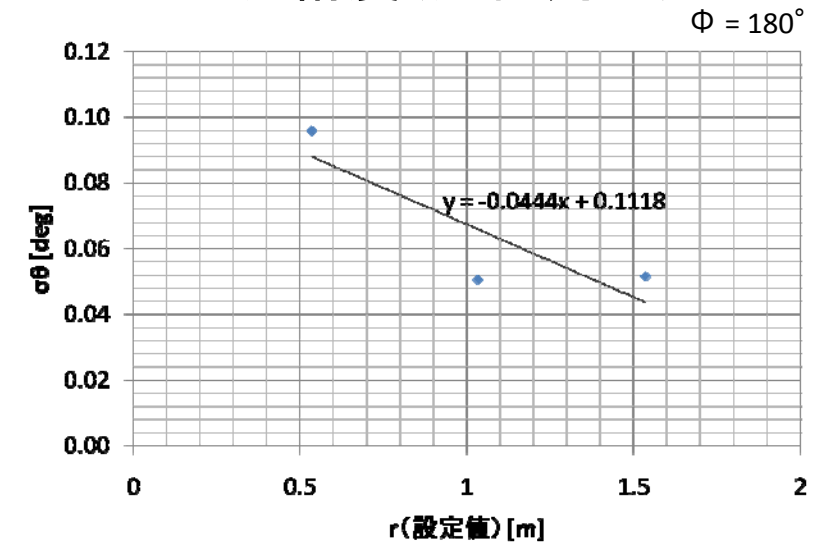
## 撮影結果(r = 1.5m)



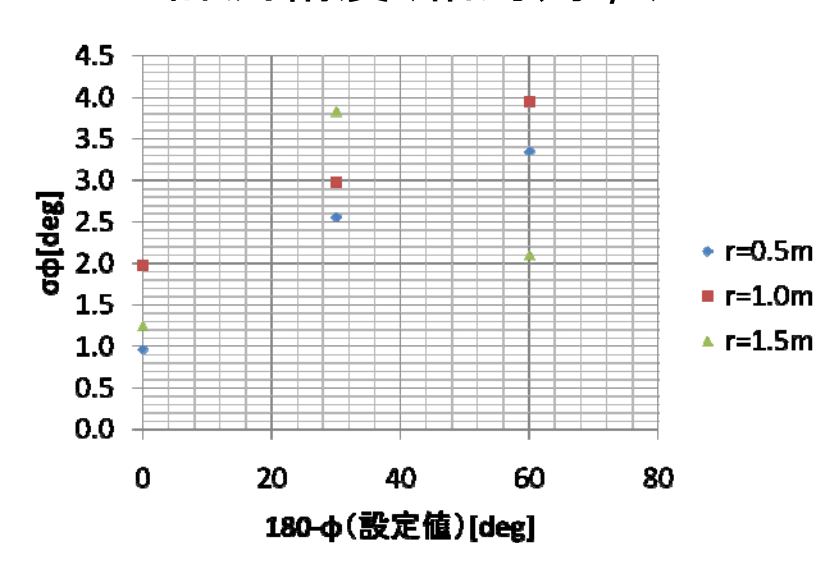
# 計測精度(距離r)



# 計測精度(方位角 $\theta$ )



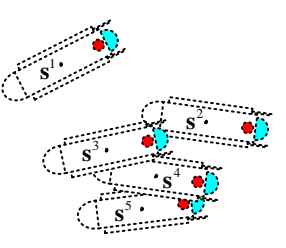
## 計測精度(相対角 $\phi$ )



#### 両センサの融合による測位手法

- パーティクルフィルタ
  - モンテカルロ法によるベイズフィルタの実装
  - 任意の状態遷移モデル、観測モデルを導入可
  - 非ガウシアンの状態推定可能
  - サンプル数により計算量と精度の調整可能

$$Bel(x_t) = \{s_t^i, w_t^i\}, i = 1,...,m$$



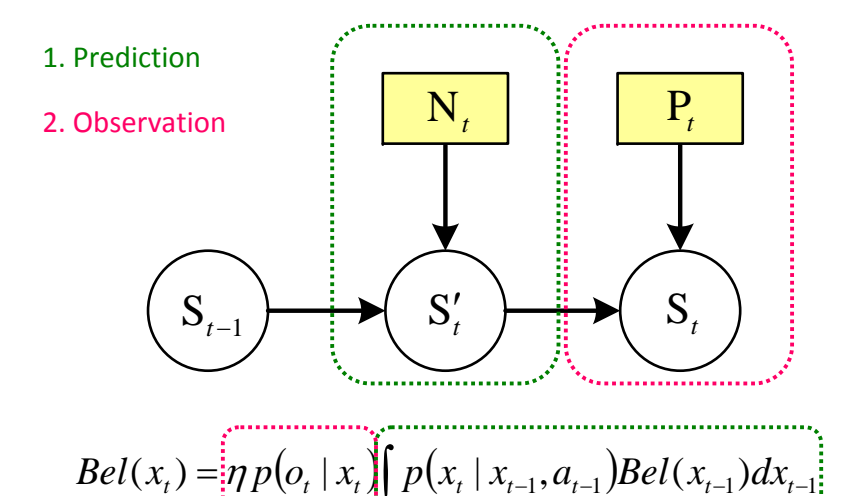
ベイズフィルタ

$$Bel(x_{t}) = \eta \underline{p(o_{t} | x_{t})} \underline{\int p(x_{t} | x_{t-1}, a_{t-1})} Bel(x_{t-1}) dx_{t-1}$$

プロファイラーによる

ナビゲーション情報による

# 状態更新手順

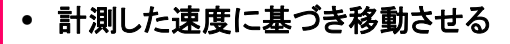


#### Prediction

for i = 1,...,m

Bel(x,-1) の表す確率分布から一点サン プリング

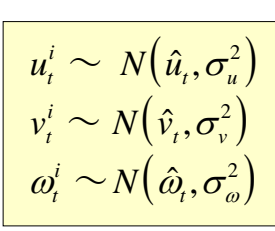
$$\rightarrow s_{t-1}^i = \{ \mathbf{x}', \psi' \}$$



$$\mathbf{x} = \{\mathbf{x}, \boldsymbol{\psi}\}\$$

$$\mathbf{x} = \mathbf{x}' + \Delta t \mathbf{R}(\boldsymbol{\psi}') \begin{bmatrix} u_t^i \\ v_t^i \end{bmatrix} \qquad \begin{bmatrix} u_t^i \sim N(\hat{u}_t, \sigma_u^2) \\ v_t^i \sim N(\hat{v}_t, \sigma_v^2) \\ \omega_t^i \sim N(\hat{\omega}_t, \sigma_\omega^2) \end{bmatrix}$$

$$\psi = \psi' + \Delta t \, \omega_t^i$$



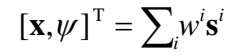
u, v: 水平移動速度, ω: 方位角速度

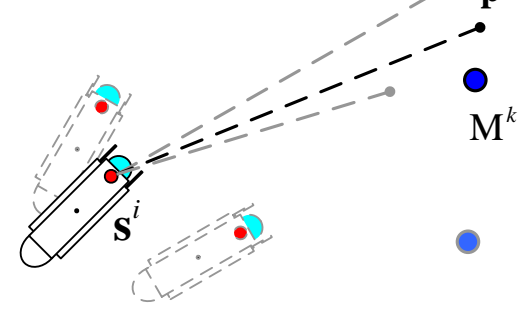
#### Observation → Output

for i = 1,...,mステーションとの相対位置関係よる重み付け

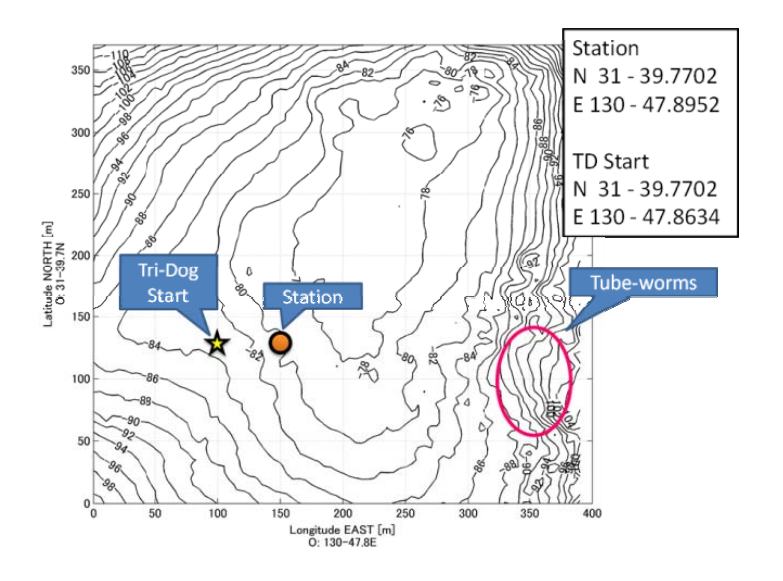
$$w'^i = \prod_j \max_k \left\{ L^{ijk} \right\}$$
 
$$L^{ijk} = L(\mathbf{p}^j | \mathbf{s}^i, \mathbf{M}^k)$$
 正規化



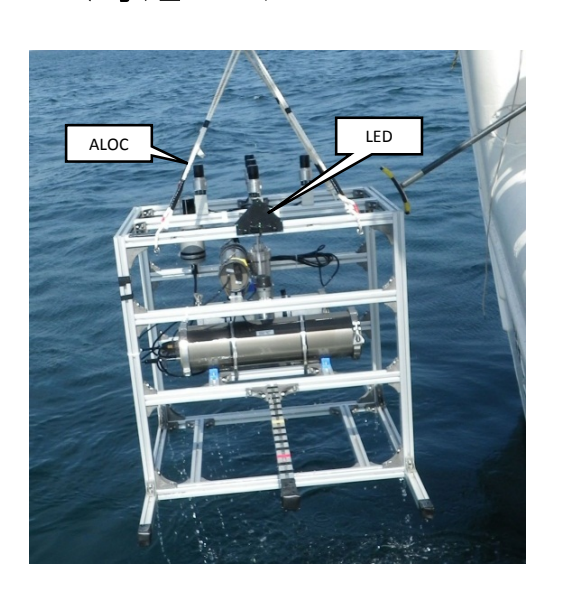




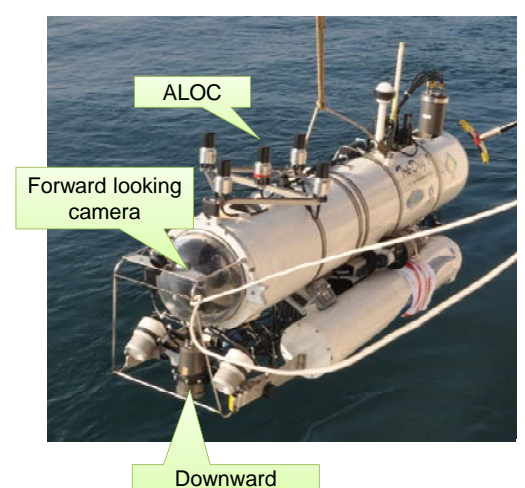
# 総合試験



# 海底ステーション



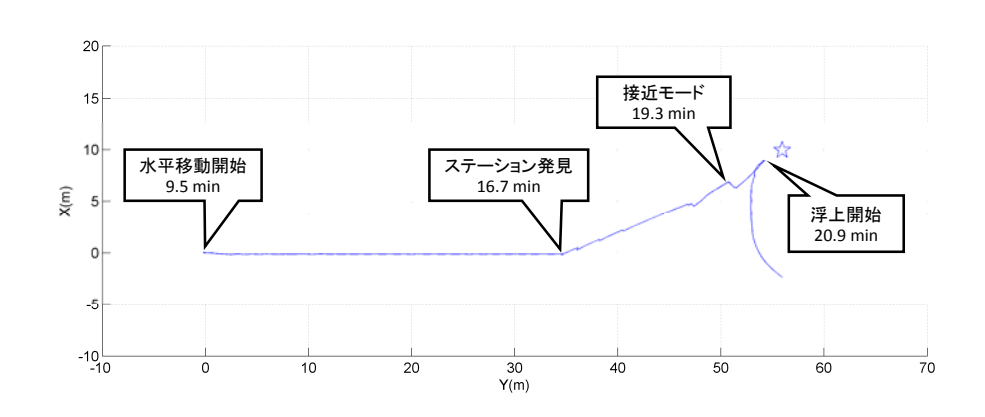
Tri-Dog 1



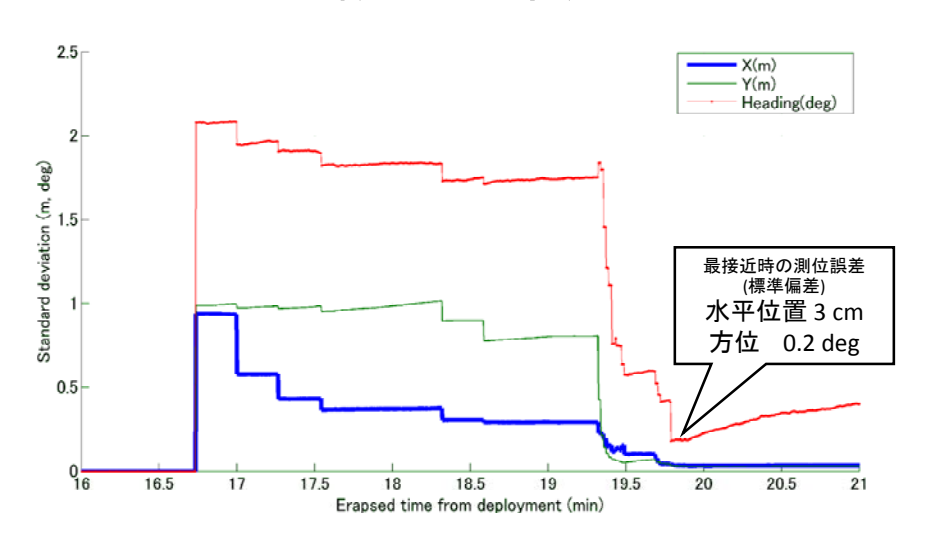
looking camera

Length	2.0 m
Width	0.6 m
Height	0.9 m
Max. depth	110 m
Duration	4 hours
Thrusters	100W x 6
Processor (Main)	Pentium M 1.1 GHz
Processor (Vision)	Pentium 4 2.4 GHz

Tri-Dog 1の航跡



### 測位誤差の推定値



## 前方カメラの撮影画像



## 海底画像観測結果



範囲: 20 x 10 m

### まとめ

- 本研究では、海底ステーションとAUVによる構造物の 長期モニタリングを実現するための、AUVの測位手法 を提案した。
- 提案手法は音響と画像によりステーションとの位置関係を計測し、速度や深度等の他のセンサ情報も用いて確率的に推定する。これにより長レンジとステーション近傍での高精度を両立する。
- 提案手法を個別に精度評価試験を行うと共に、両者 を融合した総合試験を水槽及び実海域で実施した。こ れにより提案手法の有効性を確認した。